



**MATEMATICKO-FYZIKÁLNÍ  
FAKULTA**  
Univerzita Karlova

**BAKALÁŘSKÁ PRÁCE**

Ivan Krasičenko

**Multiagentní hledání cest na Ozobotech**

Katedra teoretické informatiky a matematické logiky

Vedoucí bakalářské práce: prof. RNDr. Roman Barták, Ph.D.

Studijní program: Informatika

Studijní obor: Programování a softwarové systémy

Praha 2018

Prohlašuji, že jsem tuto bakalářskou práci vypracoval(a) samostatně a výhradně s použitím citovaných pramenů, literatury a dalších odborných zdrojů.

Beru na vědomí, že se na moji práci vztahují práva a povinnosti vyplývající ze zákona č. 121/2000 Sb., autorského zákona v platném znění, zejména skutečnost, že Univerzita Karlova má právo na uzavření licenční smlouvy o užití této práce jako školního díla podle §60 odst. 1 autorského zákona.

V ..... dne .....

Podpis autora

Chtěl bych poděkovat rodičům, že mě vždy podporovali. Bohu, že mě v tom nenechává samotného. Učitelem ze školy za jejich trpělivost a přívětivost. Všem spolužákům a spolubydlícím se kterými jsem měl tu čest trávit čas.

Název práce: Multiagentní hledání cest na Ozobotech

Autor: Ivan Krasičenko

Katedra: Katedra teoretické informatiky a matematické logiky

Vedoucí bakalářské práce: prof. RNDr. Roman Barták, Ph.D., Katedra teoretické informatiky a matematické logiky

Abstrakt: Vytvoření testovacího simulačního prostředí pro multiagentní hledání cest na Ozobotech. Program určen pro použití na mřížkových mapách. Vytváření a ukládání instanci problému. Použití programovacího jazyka Picat pro nalezení cesty pro Ozoboty. Naprogramování a testování několika řešících technik. Použití no-swap, 1-robustnost. Zahrnuta varianta, kde k pozici se modeluje i směr natočení robota. Porovnávání makespanu simulovaného běhu a běhu spuštěného na Ozobotech.

Klíčová slova: Ozoboty Multi-agentní hledání cest Mřížkové mapy Simulace

Title: Multi-agent Path Finding on Ozobots

Author: Ivan Krasičenko

Department: Department of Theoretical Computer Science and Mathematical Logic

Supervisor: prof. RNDr. Roman Barták, Ph.D., Department of Theoretical Computer Science and Mathematical Logic

Abstract: Creating of test simulation environment for multi-agent path finding on Ozobots. Program is designed for grid maps. Can load and store instantiation of problem. Program language Picat is used to find path for Ozobots. Some MAPF solvers are programmed and used. Use of no-swap, 1-robustness. Includes variant, where position with robot rotation is modeled. Compares makespan of simulation and real run on Ozobots.

Keywords: Ozobots MAPF problems Grid maps Simulation

# Obsah

<b>1</b>	<b>Úvod</b>	<b>2</b>
<b>2</b>	<b>Formalizace MAPF problému</b>	<b>4</b>
2.1	Formální popis problému . . . . .	4
2.2	MAPF řešiče . . . . .	4
2.3	MAPF řešič v Picatu . . . . .	5
2.3.1	Dělení MAPF řešiču . . . . .	5
2.3.2	MAPF řešič s optimální dobou běhu . . . . .	6
2.3.3	MAPF řešič s optimalizovaným součtem cen . . . . .	8
2.3.4	MAPF řešič optimalizující priority . . . . .	9
2.3.5	L-robustní MAPF řešič . . . . .	9
2.3.6	MAPF řešič bez hranových konfliktů . . . . .	10
2.3.7	MAPF řešič dle doby běhu a součtu cen (DB+SC) . . . . .	10
2.4	Transformace Svět na MAPF a MAPF na Akce . . . . .	11
<b>3</b>	<b>Příprava prostředí</b>	<b>12</b>
3.1	Průběh testování v MAPF Scenario . . . . .	12
3.2	Testované světy. . . . .	12
3.3	Ozoboti . . . . .	13
3.4	Volba prostředí . . . . .	13
3.5	Přehled metod . . . . .	15
3.5.1	Řešiči tehnika Simple . . . . .	16
3.5.2	Řešiči tehnika EdgeSplit . . . . .	17
3.5.3	Řešiči tehnika EdgeSplitDisj . . . . .	18
3.5.4	Řešiči tehnika VertexSplit . . . . .	18
3.5.5	Řešiči tehnika EdgeSplitRob . . . . .	20
3.5.6	Řešiči tehnika VertexSplitRob . . . . .	20
<b>4</b>	<b>Experimenty</b>	<b>21</b>
	<b>Závěr</b>	<b>23</b>
	<b>Seznam použité literatury</b>	<b>24</b>
<b>A</b>	<b>Přílohy</b>	<b>25</b>
A.1	Ozoboti a Ozoblockly. . . . .	25
A.1.1	Ozobot Evo. . . . .	25
A.1.2	Ozoblockly. . . . .	26
A.1.3	Nahrávání kódu. . . . .	26
A.2	Vysledky experimentu . . . . .	27

# 1. Úvod

Znáť pravdu je velice dôležité. Každý den se setkáváme s řadou problémů, které potřebujeme pochopit, namodelovat, vyřešit, a řešení aplikovat na problém. Pokud náš model je špatně navržen, nebo pokud problém špatně namodelujeme, získané řešení nemusí mít očekávaný dopad. V této práci se budeme zabývat hledáním cest pro více agentů na mřížkové mapě. Řešení získané na základě této práce lze aplikovat v každodenním životě, konkrétně v průmyslových halách. Pro uvedení příkladu, představme si halu, ve které máme sadu palet. Taktéž máme sadu robotů, které dovedou s paletami pohybovat. Robot vždy dokáže zajet pod paletu, zvednout ji a přemístit na jiné místo, kde ji opět položí. Kdybychom měli sklad s takovými paletami a jednoho takového robota, můžeme pro něho vybrat startovní a cílovou pozici, vzít v potaz všechny překážky v skladu a najít nejrychlejší cestu ze startu do cíle. Když budeme postup opakovat a jednou za čas robotovi řekneme, aby paletu zvedl nebo položil, tak získáme způsob, jak efektivně řídit sklad bez zbytečných prostojů. Pokud bychom chtěli běh skladu více zrychlit, například ve vytížených ročních obdobích, jako jsou Vánoce, může si společnost pořídit několik robotů navíc robotu. Ale když pustíme všechny roboty ve stejný čas, najednou pro nějakého robota vznikne určité množství pohybujících se překážek, kterým se musí vyhnout. Což může být vyřešeno zavedením techniky se senzory, kde si roboti budou hlídat, zda cesta před nimi je průchozí. Toto řešení ovšem není dokonalé, a snadno vymyslíme rozmístění robotů, které se zvolenou technikou selže. Proto jsme si zavedli centrální plánování, ve kterém jsme si na začátku plánu určili startovní pozice pro roboty, vybrali použitelné cesty a cílové pozice pro roboty. Pak už jen následuje výpočet. Ukázalo se, že tento problém je těžký. Proto se hledají modely, jak sklad namodelovat, což je možné modelovat mnoha různými způsoby. Pokud je model obsáhlejší, zabere více času na výpočet. Jednodušší modely na druhou stranu nemusí popisovat skutečnost natolik dobře, aby se daný model dal v realitě vůbec použít. Obtíže pro určení kvalitního modelu přináší i samotná realita. Vytvořený model na konkrétní problém nám nemusí nic říkat o tom, model bude reagovat v reálném světě. Zjišťování, jak moc je model v reálném světě vhodný, nejde jinak než prováděním experimentů a testováním toho, nakolik se skutečné výsledky liší od těch očekávaných. Testování stojí čas a úsilí. Je potřeba obstarat roboty, prostor, programování, testovací vybavení. A každý samotný test spotřebuje nějaký čas a energii robota. Testování modelu je i finančně náročné.

V této práci se budeme zabývat miniaturními roboty Ozobot Evo. Budeme testovat různé modely v různých reálných podmínkách. Pro tento účel vzniklo softwarové dílo MAPF Scenario, které uceleně řeší vytváření mřížkových map, umístování robotů na pozice, spouštění řešících technik a interaktivní zobrazování výsledků s možností simulace. Také umožňuje generovat soubor s instrukcemi pro ozobota, zobrazovat, ukládat a tisknout mapu. K tomu bylo přidáno rozhraní pro testování ozobota přímo na displeji monitoru. Tímto MAPF Scenario se snaží usnadnit testování a ladění různých řešících technik. Představíme 4 řešící techniky a 2 konfigurace robota. Porovnáme dobu běhu reálných robotů s dobou simulovanou.

Výstupem práce by měl být model, jehož aplikace v reálném světě by mohla

usnadnit provoz robotů manipulujících s paletami ve skladech. Použití vhodného modelu by mohlo zvýšit efektivitu pohybu robotů ve skladech, snížit náklady na lidskou pracovní sílu, snížit prostoje, a rychlejší dopravou palet by mohl pomoci společností k rychlejšímu zpracování nebo doručení zakázek a následnému zvýšení jejich obrátu.

# 2. Formalizace MAPF problému

## 2.1 Formální popis problému

Mějme plochu, na které je vyznačena pravidelná čtvercová mřížka. Průsečíky čar na mřížce budeme nazývat vrcholy a úsečky mezi nejbližšími vrcholy budeme nazývat hrany. Některé vrcholy nebo hrany mohou být označené jako neprůchozí. Všechny hrany na ploše mají stejnou délku. Takto popsanou plochu budeme nazývat mřížkovou plochou.

Mějme množinu robotu, které jsou umístěny na mřížkové ploše, a chceme aby se dostaly do cílových vrcholů. Roboti mají společnou množinu akcí, které mohou provádět. Výsledkem akce pro nějakého robota může, ale nemusí, být změna vrcholu, ve kterém se nachází. Plán  $P_i$  pro robota  $i$  definujeme jako posloupnost akcí, které když robot provede, tak se dostane ze startovního vrcholu do cílového vrcholu. Akce pro robota je posloupnost instrukcí, která se nějak odráží v čase nebo pozici robota. Nejjednodušší množinou akcí může být { vpřed, vlevo, vpravo, čekej }. Každá akce má předem známou dobu trvání. *Během* budeme rozumět časové rozmezí od okamžiku, kdy roboti na svých startovních pozicích začaly vykonávat akce, až do okamžiku, kdy všichni roboti přestaly akce vykonávat a jsou v cílových vrcholech. Množina akcí pro roboty není jednoznačně určena a její podobu lze vhodně volit. Zpravidla se množina akcí volí tak, aby umožnila vytvořit úspěšný plán.

Formálně mřížkovou plochu můžeme popsat pomocí grafu  $G = (V, E, d)$ , kde  $V$  je množina vrcholů mřížkové mapy,  $E$  je množina hran mřížkové mapy a  $d$  je délka hrany. Roboty popíšeme jako uspořádanou trojici  $R = (Rs, Rc, Act)$ , kde  $Rs, Rc$  jsou uspořádané  $n$ -tice, kde,  $Rs_i \in V$  určuje vrchol, ve kterém robot  $i$  startuje,  $Rc_i \in V$  určuje vrchol, ve kterém chceme, aby se robot nacházel po provedení všech akcí. A  $Act$  je seznam akcí, které je schopen každý robot ze skupiny vykonávat.

## 2.2 MAPF řešiče

Definujeme si *MAPF řešič* jako algoritmus, který na vstupu bere graf  $G$ , a uspořádanou  $n$ -tici agentu. Každý agent má svůj startovní a cílový vrchol. Výstupem algoritmu je seznam cest  $C$ , kde pro agenta  $i$  cesta  $C_i$  je cesta v grafu  $G$  vedoucí ze startovního vrcholu do cílového. Navíc musí splňovat podmínku, že více agentů ve stejném čase nesmí sdílet stejný vrchol. *Vnořeným řešičem* budeme rozumět algoritmus, který běží na pozadí picatu (Barták a kol., 2017), prohledává stavový prostor a snaží se najít řešení. Přesněji tím budeme myslet algoritmus pro řešení SAT, MIP nebo CSP.

Vstupem MAPF řešiče budeme nazývat *MAPF problém* a tvoří ho orientovaný graf  $G = (V, E)$  a uspořádaná  $n$ -tice agentů  $a_1, \dots, a_k$ . Každému agentovi  $a_i$  je přiřazen počáteční vrchol  $s_i \in V$  a cílový vrchol  $c_i \in V$ . Výstupem řešiče je pro každého agenta  $i$  cesta  $C_i = (s_i = C_i[0], C_i[1], \dots, C_i[m], C_i[m+1] = c_i)$ . Budeme značit  $C_i[t]$  jako vrchol na cestě agenta  $i$  v čase  $t$ .  $m+1$  označíme délkou cesty. Agent se při změně času může posunout z vrcholu do souseda, a nebo pozici neměnit. Formálně, pokud  $u = C_i[t]$  a  $v = C_i[t+1]$  pak nutně  $(u, v) \in E$ . Setrvání



agenta ve vrcholu  $v$  i v následujícím čase se dá řešit přidáním reflexivních hran do grafu  $G$ . Neboli  $\forall v \in V$  platí, že  $(v, v) \in E$ . Taktéž musí platit, že dva různí agenti nesmí ve stejný čas být v jednom vrcholu, neboli  $\forall i \neq j, \forall t$  platí  $C_i[t] \neq C_j[t]$ .

Samotné implementace MAPF řešičů se dělí na dvě základní kategorie:

1. **Řešiče založené na redukci.** Tato skupina řeší MAPF problém tak, že ho převede na jiný problém, třeba na SAT (Surynek, 2012) nebo na celočíselné lineární programování (Yu a LaValle, 2013), a nebo answer set programming (ASP) (Surynek, 2012).
2. **Řešiče založeny na prohledávání.** Ty jsou založeny na prohledávání v grafu. Zahrnují varianty algoritmu A\*. Jiné přístupy využívají prohledávací stromy (Surynek a kol., 2017)

Zde se budeme zabývat řešičem založeným na redukci, a to konkrétně tím, který používá převod na SAT.

## 2.3 MAPF řešič v Picatu

Picat je víceúčelový programovací jazyk, který poskytuje několik nástrojů pro modelování a řešení kombinatorických problémů (Zhou a kol., 2015). Tím že MAPF problém popíšeme pomocí Picatu, získáme prakticky zadarmo převod do SAT, CSP či MIP. A tím možnost testovat různé řešiče.

Picat vychází z Prologu. Podobně jako prolog má pravidla, která mají hlavu a tělo. Hlava je splněna pokud jsou splněny všechny predikáty v těle. Na rozdíl od Prologu, Picat má k dispozici syntaxi pro zápis problémů s omezujícími podmínkami a tři různé řešiče takových problémů. Zde se budeme zabývat formulací MAPF problému v Picatu, a samotné překlady do instancí problému ponecháme na Picatu.

MAPF řešiče se dále dají dělit podle vlastnosti řešení, které naleznou.

### 2.3.1 Dělení MAPF řešičů

Definujeme si akční délku cesty. Necht MAPF řešič pro daný graf  $G$  a seznam agentů  $As$  dá cestu  $C_i = (s_i = C_i[0], \dots, C_i[t] = c_i)$ , kde  $s_i$  je počáteční vrchol a  $c_i$  cílový vrchol agenta  $i$ . Pak jako *akční cestu* budeme brát cestu z  $s_i$  do vrcholu  $C_i[x]$  takovou, že  $C_i[x] = c_i$  a současně  $C_i[x-1] \neq c_i$  a navíc  $\forall j \in \{x, \dots, t\}$  pláti, že  $C_i[j] = c_i$ . Dalo by se říci, že akční cesta je cesta ze startovního vrcholu do prvního navštívení cíle. A současně pak agent do konce cesty v cíli zůstane. *Délku akční cesty* pak budeme brát jako délku akční cesty, a budeme ji značit  $|C_i|_d$ .

Jednou z vlastností, kterou chceme aby řešení mělo, je co nejkratší doba, kterou agenti potřebují, aby se dostaly ze svých startovních vrcholů do cílových. Pro seznam cest, které MAPF řešič nalezne, zavedeme *Dobu běhu* jako tu nejdelší ze všech nalezených cest. Formálně doba běhu je  $\max_{i \in As} |C_i|_d$ . Při optimalizaci doby běhu hledáme řešení s nejnižší dobou běhu. Tato řešení nás mohou zajímat, pokud optimalizujeme celkový čas a nejsou pro nás tolik důležité jednotlivé zdroje, které agenti při pohybu spotřebují.

Další optimalizovanou vlastností může být *Součet cen*, ten se snaží najít nejmenší celkový počet navštívených vrcholů. Tedy součet cen bude  $\sum_{i \in As} |C_i|_d$ .

Dané kritérium hledá nejnižší součet cen. V tomto případě se snažíme, aby agenti udělaly co nejmenší počet kroků. A to i za cenu, že celková doba běhu může být vyšší.

Můžeme také optimalizovat podle *priorit*. Zde bereme v potaz, že pohyb některých agentů je dražší než jiných. Třeba agent  $A$  může mít lehký náklad a nevádí, když se více projede po mapě, zatímco agent  $B$  může mít těžký náklad a je žádoucí, aby náklad dovezl do cíle v co nejmenším počtu kroků.

Také lze hledat cesty v grafu, které mají jistou robustnost. *K-robustnosti* se rozumí to, že předtím, než agent  $A$  přejde do vrcholu  $V$ , tak v daném vrcholu nikdo nesměl posledních  $k$  kroků být. Tato varianta umožňuje nadále hledat optimální dobu běhu i součet cen, jen vynucuje další vlastnost nalezených cest. Tento typ řešení se může hodit pro agenty, kteří z nějakých důvodů nemohou plnit požadavky na přechod mezi vrcholy v čas. K robustnosti umožňuje najít cesty, které by byly vhodné pro tento typ agentů.

Dále můžeme požadovat, aby agenti při průchodu mezi vrcholy nesdílely hrany. Tomuto omezení se říká *omezení hranových konfliktů*. Hodí se obzvláště pokud agenti jsou roboti, a cesty jsou úzké uličky, kde se roboti nemohou navzájem vyhnout. Formálně, pokud agent  $i$  je ve vrcholu  $C_i[T]$  v čase  $T$ , a v čase  $T+1$  je ve vrcholu  $C_i[T+1]$ , tak  $\forall j \in As, j \neq i$  platí  $C_j[T] \neq C_i[T+1]$  nebo  $C_j[T+1] \neq C_i[T]$ .

*Zamezení vláčkového pohybu*. Toto omezení je nejvíce patrné v úloze Loydova patnáctka. Máme 16 políček, 15 kamenů a 1 volnou pozici. Můžeme vždy pohnout jedním kamenem, a to jedině na volnou pozici. Toto omezení vede na 1-robustnost.

### 2.3.2 MAPF řešič s optimální dobou běhu

Uvedeme si Picati program, který bude řešit MAPF problém a následně si ho vysvětlíme.

```
%Graph (vstup) je graf reprezentovaný seznamem sousedů [(v,sousedu)],
% kde v je vrchol grafu, a sousede je seznam jeho sousedu
%As (vstup) je seznam dvojic informací o agentu [(as,ac)],
% kde as je startovní pozice agenta, ac je cílová pozice agenta
%B (vystup) je tridimenzionální pole B[T,A,V],
% které nabývá hodnotu 1 pokud agent A v čase T je ve vrcholu V.
% Jinak nabývá 0.
path(Graph,As,B) =>
    N = len(Graph), % počet vrcholů v grafu
    K = len(As), % počet agentů
    lower_upper_bounds(Graph,As,LB,UB),
    between(LB,UB,M),
    B = new_array(M+1,K,N),
    B :: 0 .. 1,

    %(1) zavedení počáteční a koncové podmínky
    foreach(A in 1..K)
        (V,FV) = As[A],
        B[1,A,V] = 1, % agent začíná na své startovní pozici.
        B[M+1,A,FV] = 1 % agent končí ve své koncové pozici
    end,
```

```

%(2) agent A v case T se nachází právě v jednom vrcholu V
foreach(T in 1..M+1, A in 1..K)
    sum([B[T,A,V]: V in 1..N]) # = 1
end,

%(3) dva a více agentů nesdílí společný vrchol
foreach(T in 1..M+1, V in 1..N)
    sum([B[T,A,V]: A in 1..K]) # <= 1
end,

%(4) agenty mohou změnit svůj vrchol na jiný jen pokud je tam hrana.
foreach(T in 1..M, A in 1..K, V in 1..N)
    Neibs = Graph[V],
    B[T,A,V] # =>
    sum([B[T+1,A,U] : U in Neibs]) # >= 1
end,
solve(B).

```

Myšlenka je následující. Vytvoříme si trojdimenzionální pole  $B[T,A,V]$  s množinou možných hodnot  $\{0,1\}$ . První dimenzi označíme jako čas  $T$ , druhou jako číslo agenta  $A$ , a třetí jako číslo vrcholu  $V$ . Pokud  $B[T,A,V] = 1$ , tak to znamená, že v čase  $T$  je agent  $A$  ve vrcholu  $V$ . Pokud  $B[T,A,V] = 0$ , tak agent ve vrcholu není. Pro lepší představu, pokud bychom měli jen jednoho agenta, tak dostaneme dvou dimenzionální pole  $B[T,1,V]$ . A procházením tohoto pole podle času můžeme zjistit v jakých vrcholech se agent zrovna nachází. Vytvoření takového pole je provedeno následujícími řádky.

1.  $B = \text{new\_array}(M+1, K, N)$ ,
2.  $B :: 0 \dots 1$ ,

První řádek vytvoří pole potřebné velikosti a druhý vymezení domény pro proměnné, které se využijí při hledání omezujících podmínek.

Úsek kódu, označený jako (1), omezuje počáteční a cílové podmínky pro agenty. Přesně říká, že každý agent se v čase 1 nachází v počátečním vrcholu. A v čase  $M + 1$  v cílovém vrcholu. Foreach by se zde dal spíše brát jako zkrácená varianta místo výčtu podmínek pro každého agenta. V úseku kódu (2), by se na podmínku dalo nahlížet jako: „V jednom konkrétním čase jeden konkrétní agent smí být právě v jednom vrcholu“. Tato podmínka vyloučí takové situace, kdy by agent najednou v čase  $T$  přestal existovat, nebo kdyby najednou byl ve více vrcholech současně. Vymezení (3) říká, že agenti nesmějí sdílet vrcholy. Doslava, že když spočtu počet agentů v čase  $T$ , ve vrcholu  $V$ , tak jejich počet je ze shora omezen jedničkou. Čtvrtý úsek (4) bere v potaz vstupní graf. Říká, že pokud je agent  $A$  v čase  $T$  je ve vrcholu  $V$ , tak v následujícím čase musí být v jednom ze svých sousedů. Zde bereme v potaz, že  $V$  je svým vlastním sousedem. Zde je dobré si poznamenat rozdíl mezi operátory  $>$ ,  $<$ ,  $>=$ ,  $=<$ ,  $=$  a operátory  $\# >$ ,  $\# <$ ,  $\# >=$ ,  $\# <=$ ,  $\# =$ , neboli operátory s a bez  $\#$ . Ty bez  $\#$  určují běh picatího programu, testují levou a pravou stranu výrazu a případně uspějí nebo neuspějí. Zatímco operátory s  $\#$  určují podobu omezujících podmínek, které bude používat vnořený řešič. V budoucnu se také setkáme s operátorem  $\# =>$ , což je operátor pro klasickou implikaci určený pro definování omezujících

podmínky. Příkaz `solve(B)` spustí příslušný vnořený řešič a jeho výsledkem bude pole  $B$ , které splňuje omezující podmínky, a nebo `false`, pokud pole, které splňuje všechny podmínky, neexistuje. Přesné chování programu a popis příkazu lze najít v dokumentaci Picatu.

Dosud jsme se soustředili pouze na popis řešení přípustného. Teď z něj uděláme řešení optimální. V tomto řešiči budeme optimalizovat dobu běhu. O to se starají následující řádky.

```
lower_upper_bounds(Graph,As,LB,UB),
between(LB,UB,M),
```

Je za nimi následující myšlenka. Funkce `lower_upper_bounds(Gr,As,LB,UB)` odhadne nejkratší a nejdelší možné řešení problému.  $LB$  je zkratka za „Lower Bound“, a značí dolní mez. Kdežto  $UB$  - „Upper Bound“ je horní mez. Potom picati kód bude postupně hledat přípustná řešení od nejkratšího možného času až po nejdelší možný. S tím, že pokud pro čas  $M$  nebude existovat přípustné řešení, tak se  $M$  zvýší o jedna a zkusí znovu najít přípustné řešení. A pokud řešení nalezne, tak ho vrátí. Tím pádem vrátí nejkratší možné řešení, neboť kdyby existovalo kratší, tak by ho picat našel v minulém kroku při hledání kratšího řešení. Funkce `between(LB,UB,M)` se chová tak, že nejprve za počáteční  $M$  zvolí hodnotu  $LB$ . Následně pikat zkouší splnit predikáty napsané po predikátu `between`, a pokud ty selžou (mezi nimi je i predikát `solve(B)`), tak funkce dosadí do  $M$  hodnotu o 1 větší. Takto pokračuje až do hodnoty  $UB$ , a pokud neuspěje ani ta, tak celý predikát vrátí `false`. Jelikož řešení neexistuje.

### 2.3.3 MAPF řešič s optimalizovaným součtem cen

Nyní popíšeme modifikaci výše uvedeného řešiče, který nám bude hledat nejnížší součet cen. K tomu zavedeme pomocný predikát `end_time(B,As,K,M,E)`, který bude vypadat následovně:

```
%As (vstup) je seznam dvojic informací o agentu [(as,ac)],
% kde as je startovní pozice agenta, ac je cílová pozice agenta
%B (vstup) je třidimenzionální pole B[T,A,V],
% které nabývá hodnotu 1 pokud agent A v čase T je ve vrcholu V.
% Jinak nabývá 0.
%K (vstup) Je počet agentů
%M (vstup) je délka plánu (neboli maximální čas T)
%E (vystup) je pole indexované agenty, kde E[A] udává akční délku cesty,
% jak jsme ji definovali vyše, pro agenta A.
end_time(B,As,K,M,E) =>
    E = new_array(K),
    E :: 1..M+1,
    foreach (A in 1..K, T in 1..M+1)
        (V,FV) = As[A],
        % (5) pokud agent dosáhl délku akční cesty v čase T,
        % tak v předchozím čase ještě v cíli nebyl.
        if T > 1 then
            E[A] #= T #=> B[T-1,A,FV] #= 0
        end,
        % (6) pro všechny časy po dosažení délky akční cesty
```

```

% platí, že agent zůstává v cílovém vrcholu
foreach (T1 in T..M+1)
    E[A] #=> T #=> B[T1,A,FV] #=> 1
end
end.

```

Myšlenka tohoto predikátu spočívá v tom, že nám vymezení pole s délkami akčních cest jednotlivých agentů. Formálně, pokud řešič vrátí pro agenta  $i$  cestu  $C_i$  a délka akční cesty bude  $d_i = |C_i|_d$ , pak  $E[I] = d_i$ . Úsek (5) zajišťuje, že koncová doba  $E[i]$  je nejmenší možná. Neboli  $C_i[E[i] - 1] \neq c_i$ . A úsek (6) hlídá, že po dorážení do cíle agent v cíli zůstane. Neboli  $\forall T \in \{E[I]..M + 1\}$  platí, že  $C_i[T] = c_i$ . Pak můžeme volat rozšířenou funkci predikátu *solve*, konkrétně  $solve([\$min(sum(E))],B)$ . První argument funkce *solve* bere seznam voleb pro vnořený řešič. V tomto konkrétním případě mu říká, že chce takové řešení, kde součet prvků z pole  $E$  je minimální. V této variantě funkci *between* nebudeme používat, a jako  $M$  si rovnou dosadíme  $UB$ . Toto řešení je poněkud naivní, neboť počítá rovnou s velkým množstvím proměnných. Lepší řešení bylo navrženo v (Barták a kol., 2017), kde se doba běhu zvyšuje postupně spolu se součtem cen. Poznamenejme, že symbol  $\$$  v zápisu  $solve([\$min(sum(E))],B)$  značí že *min* je term, a nikoliv volání funkce.

### 2.3.4 MAPF řešič optimalizující priority

MAPF řešič, který počítá součet cen, předpokládá, že každý přesun agenta po hraně stojí stejnou cenu. Můžeme zavést vektor vah  $w = (w_1, w_2, \dots, w_k)$ , kde  $w_i$  bude cena přechodu po hraně pro agenta  $i$ . Řešič optimalizující priority bude volat jinou optimalizační funkci, a to tu, která akční délku cesty pro agenta  $i$  přináší  $w_i$ . Tedy  $min(sum(WE))$ , kde  $WE$  je vektor, kde  $(WE)_i = w_i * E[i]$ .

### 2.3.5 L-robustní MAPF řešič

Tento řešič vychází z úpravy předchozích řešičů, a to úpravou podmínky (3) následujícím způsobem:

```

%pokud je agent A v case T na pozici V,
% tak zadny jiny agent nebyl v case T-L az T na pozici V
foreach(T in 1..M1, A in 1..K, V in 1..N)
    B[T,A,V] #=> sum([B[Prev,A2,V] : A2 in 1..K, A2!=A,
                    Prev in max(1,T-L)..T]) #=> 0
end

```

Tento kód by se dále přečíst takto: pokud agent  $A$  je v čase  $T$  ve vrcholu  $V$ , tak v čase  $T - L$  až  $T$  tam nesměl být žádný jiný agent, kromě agenta  $A$ . Pro upřesnění, využívá se zde syntaxe podobná hasklu, kde kód  $[x : x \text{ in } 1..N, \text{podminky}]$  se podobá klasickému matematickému definování množiny vymezením jejich vlastností.

### 2.3.6 MAPF řešič bez hranových konfliktů

Zamezení hranových konfliktů lze docílit z předchozích řešičů přidáním následujícího úseku kódu:

```
%dva různí agenti nesmí přejít přes společnou hranu
foreach(T in 1..M, V in 1..N, A in 1..K)
    foreach(U in Graph[V], C in 1..K)
        if A != C then
            (B[T,A,V] #/\ B[T+1,A,U]) #=>
                B[T,C,U] + B[T+1,C,V] #=< 1
        end
    end
end,
```

Tento úsek kódu pro každého agenta  $i$ , který přechází z vrcholu  $C_i[T]$  do vrcholu  $C_i[T + 1]$  přidá podmínku, že agent  $j \neq i$  nesmí být ve vrcholu  $C_i[T + 1]$  v čase  $T$ , a v čase  $T + 1$  nesmí být ve vrcholu  $C_i[T]$ . Tedy  $C_i[T + 1] \neq C_j[T]$  a současně  $C_i[T] \neq C_j[T + 1]$ . Tento úsek kódu vede na velké množství podmínek.

### 2.3.7 MAPF řešič dle doby běhu a součtu cen (DB+SC)

Vezměme řešič pro optimální dobu běhu. Ten postupně hledá řešení od nejkratší možné doby běhu až po nejdelší doby běhu. Můžeme při hledání řešení délky  $t$  zahrnout požadavek na minimalizaci počtu cest. Výsledek takového řešiče bude nadále optimalizovat dobu běhu, ale současně agenti, jejichž akční délka cesty je kratší než doba běhu, nebudou provádět zbytečné kroky.

Upravený algoritmus by mohl vypadat následujícím způsobem:

```
path(Graph,As,B)
    N = len(Graph),
    K = len(As), % pocet agentu
    lower_upper_bounds(Graph,As,LB,UB),
    between(LB,UB,M),
    B = new_array(M+1,K,N), %B = (Cas,Agenty,Vrcholy)
    B :: 0 .. 1,

    end_time(B,As,K,M,E),
    .
    .
    .
    solve([$min(sum(E))],B). /* $min znaci term */
```

Program nejprve zkouší najít řešení od nejmenší doby běhu  $LB$ , až po nejvyšší dobu běhu  $UB$ , a pro danou dobu  $M$  se snaží pro každého agenta minimalizovat jeho délku akční cesty.

## 2.4 Transformace Svět na MAPF a MAPF na Akce

Je potřeba zavést transformaci z mřížkové mapy s roboty do vstupu pro MAPF řešič, tedy do orientovaného grafu a  $n$ -tice agentu. Tuto transformaci pojmenujeme jako transformace Svět $\rightarrow$ MAPF nebo zkráceně SM. Formálně Svět se bude skládat z mřížkové plochy  $G_s$  a uspořádané trojice  $R = (Rs, Rc, Act)$ . MAPF problém bude Graf  $G_m$  a seznam agentů  $A$ . Transformace Svět $\rightarrow$ MAPF bude dvojice  $(Gf, Vf)$ , kde  $Gf$  je algoritmus, který vezme graf  $G_s$  a vytvoří z něj graf  $G_m$ . A  $Vf$  je zobrazení z množiny vrcholu  $G_s$  do množiny vrcholu  $G_m$ . Formálně zapsáno  $G_m = Gf(G_s)$  a  $Vf : V(G_s) \rightarrow V(G_m)$ .

Následně zavedeme transformaci z výstupu MAPF řešiče do akcí jednotlivých robotů, a označíme ji jako MAPF $\rightarrow$ Akce zkráceně MA. Výstupem MAPF řešiče je seznam cest v grafu  $G_m$ . Pro agenta  $i$  dá MAPF řešič cestu  $C_i$ . Výstupem transformace je seznam posloupnosti akcí pro nějakou množinu robotů  $R = (Rs, Rc, Act)$ . Neboli pro robota  $i$  nám vrátí posloupnost  $A_i = \{a_t\}_1^{tkonec}$ , kde  $a_t \in Act$ . Samotná transformace pak bude zobrazení  $k$ -te  $r$ -tice vrcholu z cesty do nějaké akce. Formálně  $MA : v^r \rightarrow a$ , kde  $v \in V(G_m)$ ,  $a \in Act$ . Zavedeme si pomocnou funkci  $usek(C_i, k, r)$ , která pro cestu  $C_i = (C_i[0], \dots, C_i[tkonec])$  vrátí úsek cesty  $(C_i[k], \dots, C_i[k+r])$ ,  $r > 0$ ,  $r \in \mathbb{N}$ . Pak pro agenta  $i$  a jeho cestu  $C_i$  dostanu  $k$ -tou akci pomocí úseku  $u_k = usek(C_i, k, r)$ ,  $r > 0$ , který zobrazím za pomoci  $MA$  do množiny akcí  $Act$ .

Konkrétní metoda pro vytvoření plánu pro mřížkovou plochu  $M$  a pro roboty  $R = (Rs, Rc, Act)$  se bude skládat z transformace Svět $\rightarrow$ MAPF, konkrétního MAPF řešiče, a transformace MAPF $\rightarrow$ Akce.

## 3. Příprava prostředí

Naplň vlastní práce spočívá ve výbětu několika reprezentci světa, několika metod a otestování, jak si metody vedou v různých světech.

### 3.1 Průběh testování v MAPF Scenario

Provedení testu se dá rozdělit na následující sadu kroku.

1. **Navrhnout svět.** MAPF scenario umožňuje nadefinovat plošku pro roboty a zvolit jejich výchozí pozice.
2. **Zafixovat délku hrány a délky operaci.** Výsledky testu jsou závislé na délce hrány v plošce, a době trvání jednotlivých akcí robotu. Délka hrány se nastavuje v programu scenario, a délka akcí se nastavuje ručně ve vygenerovaném kódu pro ozobotu. Současné nastavení nedovoluje generovat mřížku větší než 30 na 30 vrcholů.
3. **Zvolit řešící metodu a vygenerovat řešení.** Samotné řešící metody jsou napsané v jazyce Picat. Jejich seznam je schrnut v souboru `picat_iface`. Scenario umožňuje některou z těchto metod zvolit a spustit. Před zavoláním řešící metody scenario vytvoří soubor s grafem problému a s pozicí agentu. Po zavolání metody se scenario se pokusí přečíst soubor s řešením, který metoda vygenerovala.
4. **Vygenerovat programy pro ozoboty.** Metodou vygenerované řešení obsahuje posloupnosti instrukcí pro jednotlivé roboty. Generování programu pro ozoboty se provádí metodou vkládání části kódu do existující šablony. Šablona je pojmenována „`template.ozocode`“ a musí obsahovat funkce „`ENTRYPOINT`“, „`INJECTED`“ a také volání funkce „`ENTRYPOINT`“. Samotné vkládání kódu spočívá v tom, že se projde uložený XML dokument s šablonou, najde se tam volání funkce „`ENTRYPOINT`“, to se nahradí voláním funkce „`INJECTED`“. Za volání funkce „`INJECTED`“ se vloží seznam volání funkce které odpovídají jednotlivým akcím robotu.
5. **Vytvořit reálnou reprezentaci plošky.** MAPF Scenario umožňuje zobrazovat plošky na displeji nebo je ukládat do souboru, nebo posílat na tiskárnu. Délka hrany a její tloušťka je plně nastavitelná.
6. **Provést testování** Provedení testování spočívá v rozmístění robotu na startovní pozici na plošce, jejich spuštění a zaznamenání výsledku.

### 3.2 Testované světy.

Zvolíme si několik ploch s mřížky a rozmístění robotu pro které budeme provádět test.

1. **Cross.** Na obrázku 3.1 jednoduchý test, kde se protnou cesty dvou robotu.



2. **Plane.** Na obrázku 3.2 Podobný test jako výše, akorát pro tři roboty.
3. **Riddle.** Na obrázku 3.3 je test, který byl inspirován Lloydovou 15. Na malém prostoru jsou zde tři roboti. Zde se předpokládá velké množství rotaci a popojždění.
4. **Spiral.** Na obrázku 3.4 je zobrazen svět pro testování vlačkového pohybu robotu po spirálovité ploše.
5. **Headless.** Na obrázku 3.5 je zobrazen svět, kde se testuje pohyb dvou robotů po společně uzké cestě.
6. **Basket.** Na obrázku 3.6 je svět, kde se sleduje rozdíl délky akčních cest dvou robotů. Zde je možné sledovat jaké akce provádí robot, který má kratší akční cestu, a tím padem si ji musí nějak vyplnit.
7. **Switch.** Na obrázku 3.7 je svět, kde se roboti musí vyhnout. Testuje se schopnost vyhnout se kolizi.
8. **Unlucky.** Na obrázku 3.8 je svět, kde délka cesty s řešením je výrazně delší, než současná pozice robotu od startovní a cílové pozice.

Na obrázcích jsou vyznačené jednotlivé plochy, a v některých vrcholech jsou umístěny startovní pozice pro robota  $i$  s popisem  $S_i$  a cílová pozice s popisem  $C_i$ . Pro plnou definici světa je potřeba navíc zvolit také množinu akcí, které roboti budou moct provádět. Navíc každá akce musí mít přiřazenou nějakou dobu trvání. Tím se budeme zabývat v jednotlivých testech.

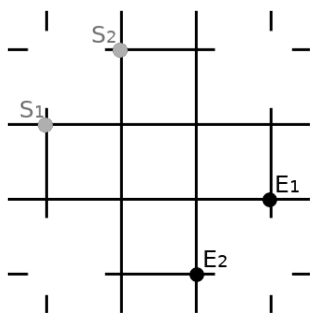
### 3.3 Ozoboti

Pro testování modelu v reálném světě jsme zvolili ozoboty. Ozobot Evo je malý kulatý robot s rozměry přibližně 35 mm v každém směru. Programování ozobota se provádí ve vývojovém prostředí s názvem OzoBlockly.

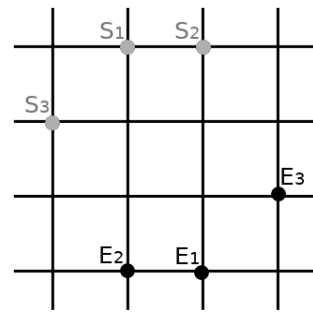
Základní dovedností Eva je jízda a sledování nakreslené čary. Při křížicích se čarách Evo umožňuje si vybrat směr další jízdy, případně lze zvolit jemnější akce jako rotace. Zde tyto dovednosti se využijí pro pohyb robotu po mřížkové ploše. V našich testech se cesty pro agenty převedou na posloupnosti instrukcí pro ozobota Evo. Samotné vykonávání programu bude spočívat v tom, že ozobot ve vrcholu na ploše přečte instrukci, podle ní zvolí směr další jízdy a sleduje čáru pod ním až do okamžiku kdy dorazí do dalšího vrcholu. Pak čte další instrukce. Podrobnější popis ozobota se nachází v příloze. [REF Ozka na přílohu 1. ]

### 3.4 Volba prostředí

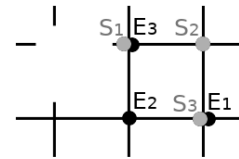
Reálný svět se oproti tomu modelovému je o mnoho bohatší. V našem modelovém světě je délka hrany vždy jedna, a přechod z jednoho vrcholu do druhého zabere právě 1 diskretní čas. Tato skutečnost ovšem pro testování je nepostačující. V reálném světě se potýkáme s tím že čas je spíše spojity než diskretní, a změna pozice robotu je v čase vždy spojitá. Při výběru prostředí jsme se soustředili na dobu provádění testu, a to směrem, aby testy zabrali co nejmenší čas.



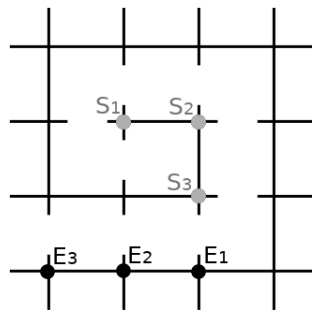
Obrázek 3.1: Svět cross



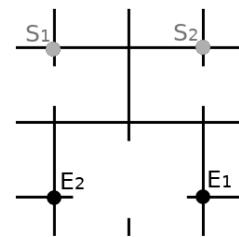
Obrázek 3.2: Svět plane1



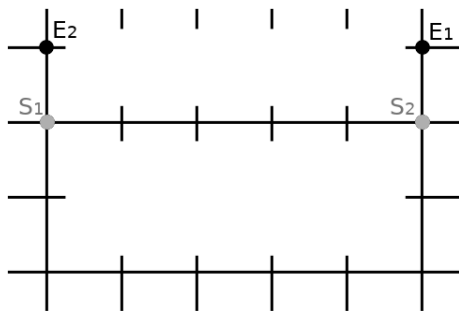
Obrázek 3.3: Svět riddle



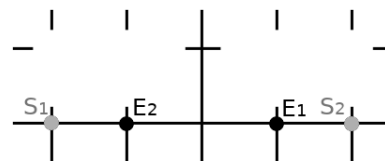
Obrázek 3.4: Svět spiral



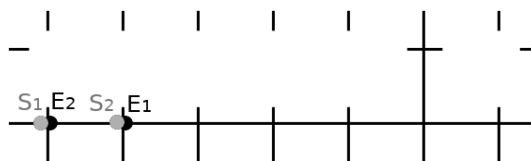
Obrázek 3.5: Svět headless



Obrázek 3.6: Svět basket



Obrázek 3.7: Svět switch



Obrázek 3.8: Svět unlucky

Tedy, délka hrany mezi vrcholy byla zvolena na co nejmenší a současně, aby pro dobrý plán nedocházelo ke kolizím. Délka hrany byla zvolena na 55 mm. Což vychází na 200 pt. Tloušťka hrany byla zvolena na 5 mm, tedy 20 pt, tuto hodnotu doporučuje výrobce ozobotu.

Dále si zavedeme tři skupiny akcí pro roboty.

1. **Akce A.** Tato skupina akcí počítá s tím že robot je schopen určit světové směry, a skládá se z akcí {jih, server,zapad, vychod,nikam }. Vysledkem těchto akcí je posunutí agenta o následující vrchol v určeném směru. Jelikož ozoboti nemají schopnost určovat světové směry, tak tyto akce nebudeme využívat.
2. **Akce B.** Zde množina akcí bude vypadat takto { LevoJdi, PravoJdi, VzdJdi, Vpred, Cekej}. Tyto akce, už pro robota nevyžadují, aby uměl určit světové směry. Akce LevoJdi, PravoJdi vždy natočí robota o 90 stupňů a poté projde po hraně do vrcholu před nim. Akce Vpred přejde do dalšího vrcholu bez otáčení, a Cekej bude zvolenou dobu čekat v aktuálním vrcholu. V programu mapf scenario byla použita anglická verze: {leftGo, rightGo, waitB, backwardGo, goB}.
3. **Akce C.** Tato množina akcí vypadá takto: { ZatocDoleva, ZatocDoprava,Vpred,Cekej}. Tyto akce jsou rozdělením akcí B na jemnější. Zde se jedná jen o rotaci, pohyb, a čekání. Rotace je opět o 90 stupňů. Tato volba akcí se bude hodit pro některou z řešících technik.

Nadále se budeme zabývat akcemi B a C. Proto abychom mohli B a C použít, potřebujeme přiřadit každé akci dobu jejího trvání. Zde se opět využijeme požadavek aby akce trvaly co nejkratší dobu. Pro každou akci zavedeme jednu z variant. *Real* a *Uniform*. Akce varianty Real budou takové, které mají nahodně zvolenou dobu běhu. Tyto akce pomohou simulovat dobu běhu v reálném prostředí, kdy ve skutku jednotlivé akce zabírají různou dobu běhu. Varianta *Uniform* přiřadí každé akci v rámci množiny stejnou dobu běhu. To nám umožní testovat prostředí ve kterém akce robotu mají stejné trvání.

Tabulky 3.1 a 3.2 ukazují délku trvání akce jak použita v nastaveném prostředí. Poznamenáme, že skutečné doby trvání akce se řádově o 50 ms různí. Dané rychlosti akcí byli zvoleny, jako nejrychlejší proveditelné násobky 500 ms. Vestavěné omezení ozoboty neumožnilo akce pro C nastavit na 500ms, a pro B nastavit na 1500 ms. Tedy doba trvání C byla zvolena jako 1000 ms, a doba běhu B jako 2000 ms.

## 3.5 Přehled metod

Zde budeme uvažovat  $G_s = (V_s, E_s)$  jako graf mřížkové plochy,  $R_s$  roboty na mřížkové ploše.  $G_m = (V_m, E_m)$  bude graf a  $A_m$  bude seznam agentu, který vstupuje do MAPF řešiče.  $C$  bude seznam cest, které jsou vstupem MAPF řešiče.  $P$  bude seznam planu pro jednotlivé roboty. Budeme předpokládat, že všechny roboty na mřížkové ploše jsou namířeny na sever. Severem zde budeme rozumět směr, jak je značen na klasických mapách.

Zavedeme si pomocnou funkci  $sm\acute{e}r : (u,v) \rightarrow s$ , kde  $u,v \in V_s, s \in Sm\acute{e}ry = \{jih, server, zapad, vychod, nikam\}$ , která říká jakým směrem vede hrana  $(u,v)$ . Jelikož graf  $G_s$  popisuje mřížkovou plochu, tak tato funkce ma smysl.

### 3.5.1 Řešící technika Simple

Transformace Svět $\rightarrow$ MAPF zapišeme jako  $SM = (Gf, Vf)$  a bude pro ní plátit, že  $Gf$  i  $Vf$  bude identita. Tedy graf  $G_s = G_m$ . Pro každého robota bude plátit, že  $Rs_i = s_i$  a  $Rc_i = c_i$ , tedy startovní i cílová pozice robota je stejná jako startovní a cílová pozice agenta. Nechť  $Act$  je množina akcí, které agent může vykonávat. V stavající metodě zavedeme  $Act$  jako množinu  $\{LevoJdi, PravoJdi, VzadJdi, Vpred, Cekej\}$ . Z našeho pohledu to budou dale nedělitelné akce. Roboti si je mohou reprezentovat jako vhodnou sekvenci instrukcí.

Jako MAPF řešič zde použijeme DB+SC, tedy ten co optimalizuje dobu běhu a součet cen.

MAPF řešič vytvoří seznam cest  $C$ . Cesty převedeme na akce pro agenty

Real	Trvani akce (ms)	Instrukce
LevoJdi	1200	T68 G68
PravoJdi	1200	T68 G68
Vpred	800	G68
VzadJdi	1500	T71 T71 G73
Cekej	1000	-
Unif	Trvani akce (ms)	Instrukce
LevoJdi	2000	T46 G38
PravoJdi	2000	T46 G38
Vpred	2000	G25
VzadJdi	2000	T71 T71 G70
Cekej	2000	-

*Pozn:* TRychlost a GRychlost jsou instrukce pro otoceni a jdi s danou rychlosti.

Tabulka 3.1: Tabulka akci B

Real	Trvani akce (ms)	Instrukce
ZatocDoleva	400	T68
ZatocDoprava	400	T68
Vpred	800	G68
Cekej	600	-
Unif	Trvani akce (ms)	Instrukce
ZatocDoleva	1000	T21
ZatocDoprava	1000	T21
Vpred	1000	G54
Cekej	1000	-

*Pozn:* TRychlost a GRychlost jsou instrukce pro otoceni a jdi s danou rychlosti.

Tabulka 3.2: Tabulka akci C

pomocí transformace MAPF→Akce. Nejprve pro agenta  $i$  vezmeme cestu  $C_i = (v_1, v_2, \dots, v_n)$ . Tuto cestu upravíme přidáním předstartovního vrcholu  $v_0$  tak, aby  $\text{směr}((v_0, v_1)) = \text{Sever}$ . V tomto případě  $G_s = G_m$ , a můžeme zde na  $G_m$  použít funkci  $\text{směr}$ . Budeme nadále počítat s cestou  $Cm_i = (v_0, v_1, \dots, v_n)$ . Poznamenejme, že tento pomocný krok zavádí do cesty  $Cm_i$  fakt, že všichni roboti jsou při startu nasměrováni čelem na server. Transformace MA pro agenta  $i$  a jeho cestu  $C_i$  postupně vezme všechny useky  $u_k = \text{usek}(C_i, k, 3)$  delky 3 a zobrazí je na akce. Samotné zobrazení na akce by mohlo být řešeno stavovou tabulkou. Tu si pojmenujeme jako  $\text{prechod}(u, v)$  a přechody uvedeme v tabulce 3.3. Nechtě usek  $u_k = (v_1, v_2, v_3)$ , pak  $\text{směr1} = \text{směr}((v_1, v_2))$  a  $\text{směr2} = \text{směr}((v_2, v_3))$ . Pak  $\text{prechod}(\text{směr1}, \text{směr2})$  dá akci pro robota v kroku  $k$ . Lze si všimnout, že  $\text{směr1}$  může nabývat hodnoty *Nikam*, což funkce  $\text{prechod}(u, v)$  neošetřuje. To by se mohlo ošetřit další pomocnou funkcí, která by vrátila poslední směr agenta před  $k$ -tým směrem *Nikam*. Timto je vytvořena ucelená metoda která vytvoří, pro mřížkovou plochu a roboty na ni, seznam akcí, které roboty dovedou do cílového stavu.

Tato metoda ovšem je pro mřížkovou plochu a roboty nepoužitelná. Neboť neošetřuje situaci, kde více agentů při jedné akci sdílejí společnou hranu. Tedy nesplňuje omezení hranových konfliktů. Stavající transformace SM a MA tuto vlastnost nepřidávají. Proto tato metoda nebude testována. Ale bude použita jako základ pro další metody.

### 3.5.2 Řešící technika EdgeSplit

Budeme vycházet z předchozí metody, akorát provedeme úpravu transformace Svět→MAPF a MAPF→Akce. V předchozí metodě graf  $G_s$  určující mřížkovou plochu byl převeden přesně na graf  $G_m$ , který je vstupem pro MAPF řešič. V této metodě provedeme transformaci, ve které každá hrana grafu  $G_s$  bude v grafu  $G_m$  reprezentována posloupností hrana, vrchol, hrana. Formálně nechtě  $G_s = (V_s, E_s)$  a  $G_m = (V_m, E_m)$ . Sice je  $G_s$  neorientovaný graf, ale budeme ho reprezentovat jako orientovaný. Pak pro každou dvojici hran  $(u, v) \in G_s$  a  $(v, u) \in G_s$  přidáme do  $G_m$  vrcholy  $u, v, x_{\{u,v\}}$ . Přidáme také nové hrany  $(u, x_{\{u,v\}}), (x_{\{u,v\}}, v), (v, x_{\{u,v\}}), (x_{\{u,v\}}, u) \in E_m$ . Zavedeme si pro vrcholy grafu  $G_m$  nové značení  $x_{\{u,v\}}$  je *od hrany* které značí, že vrchol vznikl štěpením hrany. A  $v$  *od vrcholu* které značí, že  $k$  vrchol vznikl k vrcholu původního grafu  $G_s$ . Abychom zamezili výměně agentů po společné hraně zavedeme si invariant, že v každém sudém čase jsou všechny agenti ve vrcholu, který je *od vrcholu*. A v lichých musí být všichni

prechod(u,v)	Jih	Sever	Zapad	Vychod	Nikam
Jih	Vpred	VzadJdi	PravoJdi	LevoJdi	Cekej
Server	VzadJdi	Vpred	LevoJdi	PravoJdi	Cekej
Zapad	LevoJdi	PravoJdi	Vpred	VzadJdi	Cekej
Vychod	PravoJdi	LevoJdi	VzadJdi	Vpred	Cekej

*Pozn:* první sloupec udává předchozí stav, první řádek udává následující stav.

Tabulka 3.3: Tabulka určuje funkci, která z aktuálního kroku agenta počítá jeho akci

agenti ve vrcholích které jsou od hrany. Nastává zde problém, s reflexivními hranami. Neboť v čase  $t$  sudé je agent a v vrcholu  $v$  a v čase  $t + 1$  liché agent může zůstat v stejném vrcholu. Tim je invariant porušen. Proto graf  $G_m$  nebude obsahovat reflexivní hrany. Tedy  $(x,x) \notin E_m \forall v \in V_m$ . Jelikož jsme pro každou hranu  $(u,v) \in E_s$  vytvořili hrany  $(v, x\{u,v\}) \in E_m$  a  $(x\{u,v\}, v) \in E_m$ , tím jsem si zajistili reflexivní hranu pro vrchol  $v$  která nam invariant neporuší. Situaci kdy vrchol nemá žádného souseda můžeme ošetřit ták, že jeho původní reflexivní hranu rozdělíme podobně jako hrany mezi dvěma vrcholy.

Transformaci MAPF  $\rightarrow$  Akce upravíme oprotí předchozí verze tak, že nejdříve odfiltrujeme všechny vrcholy od hrany. Tedy pro agenta  $i$  a jeho cestu  $C_i = (v_0, x_{\{0,2\}}, v_2, x_{\{2,3\}}, \dots, v_n)$  vznikne nová cesta  $Cm_i = (v_0, v_2, \dots, v_n)$ . Novou cestu lze získat buď tím, že smažeme všechny liché vrcholy na cestě, a nebo smažeme všechny vrcholy od hrany. Upravenou cestu necháme zpracovat transformaci MAPF  $\rightarrow$  Akce původní Jednoduché metody.

### 3.5.3 Řešící technika EdgeSplitDisj

Zde opět vyjdeme z řešící techniky Simple, a použijeme i její SM a MA transformace, akorát použijeme MAPF řešič bez hranových konfliktu. Vysledná metoda by měla být totožná s metodou s dělením hran. Rozdil by se mohl projevit v časech potřebných pro tvorbu planu.

### 3.5.4 Řešící technika VertexSplit

Doposud jsme brali jako základní množinu akci robota množinu  $\{ \text{LevoJdi, PravoJdi, VzadJdi, Vpred, Cekej} \}$ . Zde si uvedeme jinou množinu základních akci robota a to  $\{ \text{ZatocDoleva, ZatocDoprava, Vpred, Cekej} \}$ . Je vidět, že tato množina akci je trošku menší než předchzi. Její akce jsou jemnější, a lze jimi popsat předchozí množinu akci. Jemnější akce nam umožní tvořit více detailní plány pro agenty. A budou také vyžadovat složitější transformace Svět  $\rightarrow$  MAPF a MAPF  $\rightarrow$  Akce.

Transformaci Svět  $\rightarrow$  MAPF si zavedeme nasledujícím způsobem. Akce ZatocDoleva, a ZatocDoprava nemění vrchol  $v \in V_s$  jen měni natočení směru, ve kterém robot zrovna je. Budeme ve vrcholu vest informace o čtyřech základní natočení  $Natoceni = \{ \text{sever, vychod, jih, zapad} \}$ . Abychom tuto skutečnost zachytili v grafu  $G_m$  provedeme štěpení  $v \in V_s$  na čtyři vrcholy  $v_{vychod}, v_{zapad}, v_{sever}, v_{jih} \in V_m$ . Do  $E_m$  přidáme hrany  $(v_{vychod}, v_{sever}), (v_{sever}, v_{zapad}), (v_{zapad}, v_{jih}), (v_{jih}, v_{vychod})$  a podobně hrany v opačném směru. Přidané hrany budou reprezentovat jednotlivé rotace agenta ve vrcholu. Zavedeme si též hrany pro přechod mezi původními vrcholy. Pro hranu  $(u,v) \in E_s$  podíváme se na  $s = směr(u,v)$  viz 3.5 přidáme do  $E_m$  hranu:  $(v_s, u_s)$ . Neboli, v jakém směru dana hrana bude, ty směry taky hrana propoji. Abychom potom byli schopni z grafu  $G_m$  určit, jaké vrcholy reprezentují rotace a jaké reprezentují přesun po hraně v původním grafu, zavedeme si pro každý vrchol  $v \in V_m$  zobrazení  $vzd : V_m \rightarrow V_s$ . Toto zobrazení nám bude vracet vrchol, který byl původce vstupního vrcholu při štěpení. Tedy  $vzd(v_x) = v$ , kde  $x \in Natoceni$ . Pak pro dva vrcholy  $u, v \in V_m$  pokud  $vzd(u) \neq vzd(v)$  tak víme že dané vrcholy reprezentují v původním grafu různé vrcholy. Zavedeme si taky zobrazení  $směrJ : V_m \rightarrow Natoceni$  tímto způsobem  $směrJ(v_x) = x$ . Toto zobrazení

nam pak pomůžte určit o jakou rotaci se jedná.

Jelikož v grafu  $G_m$  hrany už nerepresentují jen přechod mezi vrcholy v  $G_s$  ale i rotace, tak je potřeba upravit MAPF řešič, aby vytvářel jiná omezení, vhodná pro graf  $G_m$ . Chceme aby ve vrcholu v nehlédě na rotaci byl maximálně 1 agent. Nechtě  $B[T,A,V]$  bude pole používané v mapf řešiči. Všechny vrcholy v  $G_m$  si rozložím na třídy ekvivalence  $TEQ$  podle  $vzd$ . Pak pro každého agenta  $A$ , pro každý čas  $T$  a pro každou množinu vrcholu  $V_e \in TEQ$  platí, že  $\sum_{V \in V_e} B[T,A,V] \leq 1$ .

Podmínku omezení hranových konfliktů není potřeba provádět pro všechny hrany grafu  $G_m$ , ale jen pro konkrétní množinu dvojic hran. A to pro hrany  $(a,b)$  a  $(c,d)$ ,  $a,b,c,d \in G_m$  pro které platí, že  $vzd(a),vzd(b) = vzd(c),vzd(d)$ , , tedy že dvojice hrán  $(a,b)$  a  $(c,d)$  v původním grafu  $G_s$  představuje přechod po jedné hraně v opačných směrech. Kod který v pikatu zamezí hranové konflikty by mohl vypadat následovně:

```

// $ pro každou dvojici hran v DisjointE,
// zakázat použití hran naraz
foreach(T in 1..M, VSet in DisjointE, A in 1..K)
    VSet = $ep($e(Vs,Ve), $e(Us,Ue)),
    foreach(C in 1..K)
        if A != C then
            (B[T,A,Vs] #/\ B[T+1,A,Ve]) #=>
                B[T,C,Us] + B[T+1,C,Ue] #=< 1
        end
    end
end,

```

*DisjointE* představuje množinu všech dvojic hran, u kterých chci zamezit použití obou hrán mezi časem  $T$  a  $T + 1$  pro každou dvojici agentů. Samotné omezení pak říká: Pro každou dvojici hrán  $(Vs,Ve)$ ,  $(Us,Ue)$  Pokud agent  $A$  je v čase  $T$  na pozici  $Vs$  a v čase  $T + 1$  na pozici  $Ve$ , tak žádný jiný agent nesmí v čase  $T$  být v vrcholu  $Us$ , a v čase  $T + 1$  v čase  $Ue$ .

Transformaci  $MAPF \rightarrow Akce$  provedeme následujícím způsobem. Mějme cestu  $C_i$ , která bude výsledkem MAPF řešiče. Pro každý  $u_k = usek(C_i,k,2)$  otestujeme zda je dana akce rotace, přechod po hraně a nebo čekání. Nechtě  $u_k = (v_1,v_2)$ . Pokud  $vzd(v_1) = vzd(v_2)$  tak se jedná o rotaci. A akce je pak určena funkcí, která je popsána v tabulce 3.4. Pokud se jedná o přechod mezi vrcholy tak výsledkem je akce Vpred.

rot(u,v)	Jih	Sever	Zapad	Vychod
Jih	Cekej	–	ZatocDoprava	ZatocDoleva
Server	–	Cekej	ZatocDoleva	ZatocDoprava
Zapad	ZatocDoleva	ZatocDoprava	Cekej	–
Vychod	ZatocDoprava	ZatocDoleva	–	Cekej

*Pozn:* první sloupec udává předchozí stav, první řádek udává následující stav.

Tabulka 3.4: Tabulka určuje funkci, která přechod hrany  $(u,v)$  převádí na rotaci

### 3.5.5 Řešící technika EdgeSplitRob

Tato technika je rozšířením původní EdgeSplit o podmínku 1-robustnosti. Vnitřně je přidána podmínka pro 2-robustnost. 2-robustnost, proto že EdgeSplit zjemňuje graf, a vrcholy původního grafu mají v grafu zjemněném mezi sebou dva krát větší delky cest.

### 3.5.6 Řešící technika VertexSplitRob

Tato technika je rozšířením původní VertexSplit o podmínku 1-robustnosti. Zde rozumíme 1-robustnost vůči původnímu grafu. Jelikož vstupní graf  $G_s$  po provedení transformace Svět $\rightarrow$ Map byl hodně změněn nelze použít podmínku pro  $k$ -robustnost v základní variantě. Zvolíme variantu 1-robustnosti, která říká, že pokud agent  $A$  byl ve vrcholu  $V$  v čase  $T$ , tak v čase  $T - 1$  nesměl být žádný jiný agent ve vrcholech reprezentujících rotaci daného vrcholu. Vezměme  $TEQ$  jako rozklad vrcholu VertexSplit na třídy ekvivalence podle vzd. Následující kód zachycuje tuto podmínku.

```
%pokud je agent A v case T na pozici V, tak
% tak zadny jiny agent nebyl v case T-1 az T na pozici V
foreach(T in 1..M,A in 1..K, V in 1..N)
    getCompanion(V,DisjointV,VertNeibs),
    B[T,A,V] #=> sum([B[Prev,A2,VN] : A2!=A,
                    Prev in max(1,T-1)..T,VN in VertNeibs]) #= 0
end,
```



## 4. Experimenty

Cílem experimentu je porovnat rozdíl mezi simulovanou dobou běhu a dobou běhu skutečnou. A tím určit kvalitu simulatoru. Programem jsme si vygenerovali základní sadu map, a pozice pro roboty. Předmětem testování jsou čtyři řešící techniky: EdgeSplit, VertexSplit, EdgeSplitRob a VertexSplitRob, a jejich varianty Real a Unif. Pro vzniklých 8 kombinací provedeme testování pro každou mapu 5 krát. A zaznamenáme dobu běhu. Výsledky experimentu byly zaznamenány v tabulce 4.1. Podrobnější výsledky jsou v příloze. Z tabulky je vidět, že varianta Real EdgeSplit ukazuje nejmenší počet doběhnutí do konce. Naopak Robustní varianty doběhly prakticky bez chyby. Z tabulky z přílohy lze sledovat průměrnou odchylku uniform simulace od jeho testu byla jen 0,3 sekundy. Kdežto odchylka ve variantě real činí 1,5 sekund. Obě hodnoty považujeme za dobré výsledky.

Var	Technika	DiffAvg	RunAvg	ColAvg	WarnAvg
REAL	ES	2,69	2,63	1,63	0,00
REAL	VS	1,22	4,50	3,88	1,13
REAL	ESR	1,21	5,00	0,00	0,00
REAL	VSR	0,96	4,88	0,00	0,00
UNIF	ES	0,69	4,50	4,25	1,25
UNIF	VS	0,15	4,88	1,00	1,88
UNIF	ESR	0,27	5,00	0,00	0,00
UNIF	VSR	0,12	5,00	0,00	0,00

*Pozn:* ES - EdgeSplit, VS - VertexSplit, xR - Robust, (vše v sekundach)

DiffAvg - průměrné rozdíly simulovaného času od realného,

RunAvg - průměrný počet úspěchu,

RunAvg - průměrný počet kolizi,

RunAvg - průměrný počet varování ( skoro ke kolizi došlo )

Tabulka 4.1: Výsledky testu

# Závěr

Program fungoval jak měl, až na drobné záhady všechny testy byli provedené úspěšně. A experimenty ukázali odchylka doby běhu simulace od reálné hodnoty je řádově do několika málo sekund. Také se vysledovalo že varianta EdgeSplit Real měla přibližně něco přes polovinu úspěšných běhu. Zvolením varianty na Uniform se dosáhlo většího počtu úspěchu, nicméně průměrný počet kolizi je stále veliký. Varianty algoritmu s Robustnosti naopak vykazovali prakticky nulovou chybovost. Hodně záleží na skutečné rychlosti robota. Když se zjistí přesná rychlost robota, umožňuje to lepší plánování. Ozoboti se zdají být poměrně málo náchylné na rozdíly v rychlosti jízdy a to nehledě na stav baterie. A celkem se ukazují jako dobrá varianta na testování.

# Seznam použité literatury

- BARTÁK, R., ZHOU, N.-F., STERN, R., BOYARSKI, E. a SURYNEK, P. (2017). Modeling and solving the multi-agent pathfinding problem in picat. In *Tools with Artificial Intelligence (ICTAI), 2017 IEEE 29th International Conference on*, pages 959–966. IEEE.
- SURYNEK, P. (2012). On propositional encodings of cooperative path-finding. In *Tools with Artificial Intelligence (ICTAI), 2012 IEEE 24th International Conference on*, volume 1, pages 524–531. IEEE.
- SURYNEK, P., ŠVANCARA, J., FELNER, A. a BOYARSKI, E. (2017). Variants of independence detection in sat-based optimal multi-agent path finding. In *International Conference on Agents and Artificial Intelligence*, pages 116–136. Springer.
- YU, J. a LAVALLE, S. M. (2013). Planning optimal paths for multiple robots on graphs. In *Robotics and Automation (ICRA), 2013 IEEE International Conference on*, pages 3612–3617. IEEE.
- ZHOU, N.-F., KJELLERSTRAND, H. a FRUHMANN, J. (2015). *Constraint solving and planning with picat*. Springer.

# A. Přílohy

## A.1 Ozoboti a Ozoblockly.

Ozobot Evo je malý kulatý robot s rozměry přibližně 35 mm v každém směru. Programování ozobota se provádí ve vývojovém prostředí s názvem OzoBlockly.

### A.1.1 Ozobot Evo.

Schopnosti ozobota by se dali rozdělit na několik kategorií:

1. **Senzory.** Evo má vespod 7 senzorů na detekci intenzity světla, které používá pro detekci čáry pod sebou. Dále má vespod uprostřed jeden senzor pro detekci barvy. Jsme schopni programově rozlišit základních 8 barev a to: červenou, žlutou, zelenou, růžovou, modrou, světlemodrou (azurovou), bílou a černou. Neboli všechny kombinace základních třech barev.

Dále ozobot Evo má čtyři senzory na detekci překážek. Dva jsou ve předu blíže k bokům, a dva jsou vzadu také blíže k bokům. Maximální vzdálenost detekce překážky je přibližně 5 cm.

2. **Signalizace.** Evo má k dispozici celkem 6 barevných diod, které podporují zobrazení barev v rozsahu 0-127 pro složku. Jedná dioda je ve středu při pohledu ze shora. Zbývajících pět jsou umístěny v řadě za sebou v přední části ozobota. Evo má také vestavěný reproduktor. Vývojové prostředí umožňuje přehrát tón jistě výšky, říci některou barvu, číslo, a nebo některé z dalších vestavěných slov. Třeba „ha ha ha“.

3. **Pohyb.** Základní a nejdůležitější schopnosti Eeva zůstává pohyb. Evo je vybaveno dvěma motory a dvěma kolečky, které umožňují pohyb dopředu dozadu a rotaci. Každé kolečko je možné ovládat zvlášť. Je možné také nastavovat rychlost otáčení koleček. V praxi se ukázalo, že robot je odladěn pro pohyb rychlosti 30 mm/s. Při rychlostí, která je výrazně pomalejší robot projevoval defekty v plynulosti pohybu a zatčení.

Vývojové prostředí pro ozobota neobsahuje instrukce pro čtení jednotlivých senzorů pro detekci čáry. Pro detekci a sledování čáry nabízí jen základní rozhraní těmito příkazy:

- (a) Jeď po čáře do dalšího průsečíku a nebo do konce čáry.
- (b) Výběr směr další jízdy.
- (c) Nastav rychlost jízdy při sledování čáry.
- (d) Zjistí barvu konce čáry nebo průsečíku, ve kterém jsi.

Doporučena šířka čáry, kterou ozobot dokáže sledovat je 5 mm. Při užších či širších čarách ozobot má problém čáru rozpoznat. Je dobré poznamenat, že čáru která zatáčí do pravého úhlu chápe ozobot jako čáru bez průsečíku a tedy v rohu příkaz pro sledování čáry neskončí. Z toho důvodu všechny navržené plochy mají po stranách doplňující čáry. Nejlepších výsledků při

sledování čáry se dosáhlo s potištěným papírem na laserové tiskárně, kde barva čáry byla černá. Použitelná byla i lihový fix na papír. Naopak nerovné povrchy působí pro rozpoznávání čar potíže. Rozpoznávání čar funguje taky na led display, bylo testováno na displeji Asus VN274.

4. **Komunikace a programování.** Evo disponuje bluetooth modulem, a má k dispozici mikro usb vstup. Příjmy přístup pro Ozobota není přes usb ani bluetooth zpřístupněn. Programovat se dá pouze s pomocí OzoBlockly.

Příkaz „Jed po čáře do dalšího průsečíku a nebo do konce čáry“ má blokující charakter. Jakmile je příkaz spuštěn, tak blokuje následující příkazy, a to až do okamžiku, než příkaz skončí. Naopak příkaz „nastav rychlost koleček“ je neblokující. A umožňuje vykonávat jiné příkazy během pohybu robota. Tedy po dobu sledování čáry není robot schopen provádět jiné instrukce, a to až do okamžiku kdy dojede do konce čáry nebo do průsečíku s jinou čarou. Tato vlastnost zneumožňuje během pohybu robota po čáře, detekovat kolize s jinými roboty. Pokud bychom chtěli detekovat srážky robota, bylo by potřeba ručně naprogramovat sledování čáry a vkládat mezi něj úseky pro čtení senzoru pro detekci vzdálenosti. Zde ovšem narážíme na to že, že těch 7 senzorů určených pro detekci a následování hrany nejsou v stávající verzi OzoBlockly dostupné. Způsob jak to lze částečně obejít je ručně vykonávat rotaci a slepě se pohybovat dopředu ignorujíc čáru pod robotem, a v po jisté době, třeba v polovině hrany začít opět sledovat čáru. Jinak současná verze OzoBlockly nenabízí příkazy pro jednoduché sledování čáry a současné vykonávání jiných příkazů. [ Dokumentace Ozoblockly Linefollowing ].

### A.1.2 Ozoblockly.

Evo je snadno programovatelné. Ozobot Evo je od základu postaven jako hráčka a výuková pomůcka, pro učení dětí logickému myšlení a programování. Tomu odpovídá i vývojové prostředí OzoBlockly. OzoBlockly vychází z open source knihovny s názvem Blockly. Blockly je JavaScriptová knihovna, která běží na straně klienta.

Programování v OzoBlockly se převážně skládá z vytváření a skládání jednotlivých bloků do celku. Jeden blok může být jedna nebo více instrukcí, to záleží na konkrétní abstrakci. V současnosti OzoBlockly slouží k programování pro dva typy robota a to Bit a Evo. Bit je o poznání jednodušší. Vývojové studio nabízí celkem 5 úrovní zapouzdření instrukcí pro ozobota. A to od nejjednodušší, až po nejsložitější. V nejsložitější úrovni nabízí práci s proměnnými, umožňuje vytvářet funkce, obsahuje instrukce pro aritmetiku a logické operátory. Taktéž dovoluje větvení, cykly a práci s polem. Samozřejmosti jsou instrukce pro ovládní kol, diod, vydávání zvuku, vypnutí ozobota, sledování čar a čtení hodnot senzoru pro detekci překážek. Používá zásobníkové volání funkce, a umožňuje psát rekurzivní programy. Celková velikost programu je omezena na 2048Bytu. Dá se říci že ozoblockly je plnohodnotný programovací jazyk.

### A.1.3 Nahrávání kódu.

Ozoblockly je vývojové prostředí, založené na JavaScriptu, a běží v prohlížeči na straně klienta. Je dostupné z internetové stránky ozoblockly.com.

Nahrávání kódu do ozobotu Evo lze provést dvěma způsoby:

1. **Pomoci světelných signálů na obrazovce.** U Ozobota Evo lze při zapínání podržet zapínací tlačítko a tím ho přepnout do programovacího režimu. Následně ho přiložit na vyznačené místo na monitoru v ozoblockly. A stisknutím tlačítka „Load“ započne nahrávání kódu pro ozobota. Program pak lze spustit dvojklikem na spouštěcí tlačítko. Nevýhoda této metody je, že pro větší programy, obzvláště ty s zvukovými příkazy, je nahrávání kódu pomalé. Třeba program, který má zvukové instrukce zabírá kolem 1317Bytu, trvá nahrát přibližně 3 minuty a 21 sekundy. Pro reálné testování se tato varianta stává nepraktickou.
2. **Pomoci aplikace ozobot Evo v androidu nebo IOSu.** Tato varianta zahrnuje mezičlánek mezi ozobotem a ozoblockly. Takový mezičlánek může být tablet nebo telefon s přístupem k internetu a funkčním bluetooth. Nejdříve do mezičlánku stáhneme aplikaci Ozobot Evo, a v něm si založíme účet. K účtu je vázáno 12 pozic pro ukládání programu v cloudu. Pak se přihlásíme do ozoblockly pod daným účtem. Následně si vytvoříme program a uložíme ho do jedné z pozic. Aplikace má přístup k uloženým pozicím s programy. Pak spárujeme robota s mezičlánkem, a následně spustíme program ze zvolené pozice.

Pokud už je mezičlánek aktivní a funkční, nahrávání pak probíhá přes uložení do pozice tlačítkem „Save“ v ozoblockly. A následně kliknutím v aplikaci na pozici s uloženým programem, proběhne nahrání programu do ozobota. Tato varianta je složitější na zprovoznění a pochopení. Vyžaduje mezičlánek, založený účet, a funkční internet. Nabízí ale rychlejší nahrávání. A nezanedbatelnou výhodou je možnost spouštět jeden program ve více robotech v stejný okamžik.

Ozoblockly umožňuje vytvořené programy také ukládat do souboru, a ze souboru je načítat. Soubor je ve formátu xml.

## A.2 Výsledky experimentu

Varianta	Řešič	No.	mkt	mkr	diff	suc	col	wrn
1.cross								
REAL	ES	5	6,7	8,8	2,1	3	3	0
REAL	VS	6	5,8	6,8	1,0	3	3	0
REAL	ESR	7	9,6	9,3	0,3	5	0	0
REAL	VSR	8	7,7	7,3	0,4	5	0	0
UNIF	ES	9	11	11,3	0,3	5	0	0
UNIF	VS	10	9	9,0	0,0	5	0	0
UNIF	ESR	11	13	13,7	0,7	5	0	0
UNIF	VSR	12	10	10,1	0,1	5	0	0
2.plane								
REAL	ES	13	6,7	9,0	2,3	1	4	0
REAL	VS	14	6,4	8,0	1,6	5	13	2
REAL	ESR	15	7,4	9,0	1,6	5	0	0
REAL	VSR	16	7,6	8,8	1,2	5	0	0
UNIF	ES	17	11	11,8	0,8	4	2	0
UNIF	VS	18	10	10,1	0,1	5	2	2
UNIF	ESR	19	13	13,2	0,2	5	0	0
UNIF	VSR	20	12	11,8	0,2	5	0	0
3.riddle								
REAL	ES	21	3,7	0,0	3,7	0	0	0
REAL	VS	22	5,2	6,0	0,8	5	0	2
REAL	ESR	23	7,7	8,6	0,9	5	0	0
REAL	VSR	24	6,4	6,9	0,5	5	0	0
UNIF	ES	25	5	7,5	2,5	5	17	0
UNIF	VS	26	8	8,0	0,0	5	0	0
UNIF	ESR	27	13	13,4	0,4	5	0	0
UNIF	VSR	28	10	10,2	0,2	5	0	0
4.spiral								
REAL	ES	29	14,2	16,6	2,4	2	2	0
REAL	VS	30	15,6	17,2	1,6	5	4	5
REAL	ESR	31	16,2	18,1	1,9	5	0	0
REAL	VSR	32	16,2	17,8	1,6	4	0	0
UNIF	ES	33	27	27,6	0,6	2	10	5
UNIF	VS	34	23	23,1	0,1	5	0	9
UNIF	ESR	35	31	31,0	0,0	5	0	0
UNIF	VSR	36	24	23,9	0,1	5	0	0

*Pozn:* ES - EdgeSplit, VS - VertexSplit, xR - Robust, mkt - Makespan simulovany, mkr - Makespan reálný, suc - počtu spěšných běhu, col - počet kolizi, wrn - počet varování



Varianta	Řešič	No.	mkt	mkr	diff	suc	col	wrn
5.headless								
REAL	ES	37	6,8	0,0	6,8	0	0	0
REAL	VS	38	7,8	9,2	1,4	3	6	0
REAL	ESR	39	7,8	7,3	0,5	5	0	0
REAL	VSR	40	8,4	9,4	1,0	5	0	0
UNIF	ES	41	11	11,4	0,4	5	2	3
UNIF	VS	42	13	13,2	0,2	5	4	2
UNIF	ESR	43	13	13,5	0,5	5	0	0
UNIF	VSR	44	14	13,8	0,2	5	0	0
6.basket								
REAL	ES	45	10,6	11,9	1,3	5	0	0
REAL	VS	46	10,6	12,1	1,5	5	0	0
REAL	ESR	47	10,6	12,2	1,6	5	0	0
REAL	VSR	48	10,6	11,7	1,1	5	0	0
UNIF	ES	49	21	21,3	0,3	5	0	0
UNIF	VS	50	15	15,3	0,3	5	0	0
UNIF	ESR	51	21	21,1	0,1	5	0	0
UNIF	VSR	52	15	15,2	0,2	5	0	0
7.switch								
REAL	ES	53	7,7	9,2	1,5	5	4	0
REAL	VS	54	8,6	9,4	0,8	5	5	0
REAL	ESR	55	9,7	11,1	1,4	5	0	0
REAL	VSR	56	8,2	9,2	1,0	5	0	0
UNIF	ES	57	13	13,6	0,6	5	3	2
UNIF	VS	58	13	13,3	0,3	5	2	2
UNIF	ESR	59	17	17,3	0,3	5	0	0
UNIF	VSR	60	13	13,0	0,0	5	0	0
8.unlucky								
REAL	ES	61	11,7	13,1	1,4	5	0	0
REAL	VS	62	12,6	13,6	1,0	5	0	0
REAL	ESR	63	14,7	16,1	1,4	5	0	0
REAL	VSR	64	13,2	14,1	0,9	5	0	0
UNIF	ES	65	23	23,0	0,0	5	0	0
UNIF	VS	66	18	17,8	0,2	4	0	0
UNIF	ESR	67	29	29,0	0,0	5	0	0
UNIF	VSR	68	19	19,0	0,0	5	0	0

*Pozn:* ES - EdgeSplit, VS - VertexSplit, xR - Robust, mkt - Makespan simulovany,  
mkr - Makespan reálný, suc - početů spěšných běhu,  
col - počet kolizi, wrn - počet varování